

(32)

酸化鉄のガス還元移動層の定常特性

川崎製鉄技術研究所

近 藤 幹 夫

I. 緒言 向流のガス還元移動層については、八木ら⁽¹⁾、Spitzerら⁽²⁾の理論解析がある。後者は、酸化鉄ペレットの還元過程をトポケミカルな機構で表現したモデルにより、数種の操作条件のもとでの諸変数の分布を求めている。この考え方に基づき、本研究では、等温移動層における最終還元率と、操作条件の関係を、Chemical reserve zoneとの関連において、把握し、さらに、反応完結に必要な最小の反応器長さと操作条件との関係をも求めた。

Ⅱ 理論 前報⁽³⁾にしたがい、無次元の状態方程式として、(1), (2)式が得られ、境界条件は(3), (4)式となる。

$$d\mathbf{x}/d\xi = -R\xi^* \quad \dots \quad \dots \quad \dots \quad (1), \quad d\eta_m/d\xi = c_m (x - x_{em}) \quad (m=1, 2, 3) \quad (2)$$

$$\xi_0 = 0 \quad \text{and} \quad x = x_0 \quad \text{at} \quad t = 0 \quad (3), \quad \xi = \ell \quad \text{and} \quad \eta_m = 1 \quad \text{at} \quad t = 0 \quad (m = 1, 2, 3) \quad (4)$$

$$\text{ここで, } Rg_m^* = 6(1-\varepsilon) \left\{ \sum_{k=1}^m K_m(x - x_{k|m}) \eta_k^2 \right\} / (v + C_t) \quad \dots \quad (5)$$

(1), (2)式を差分方程式に変換し、収束計算を行なつた。

Ⅲ結果 最終還元率 f_1 とガス流速 v_e の関係は図 1 のごとく、おおよそ三種類に分類される。

2) u が小さい場合、 $f_1 > 0.4$ で、 f_1 と v とは、直線関係をなす。この場合には、 x が x_{E3} に等しい位置

$$f_1 = f_w + \{ C_t (x_0 - x_{e3}) / C_0 \} \cdot (v/u) \quad \dots \quad (6)$$

での還元率 f_{el} は、操作条件によらず、 f_w となり、反応器中央に chemical reserve zone が形成される。2) u が小さく、 $f_1 < 0.4$ の場合には、 f_1 と v とは比例関係をなす。

1)の場合よりも、さらにvが小さいので、xは、ガス入口近傍で急激に低下し、ガスの出口濃度は零に近くなる。よつて、移動層全体を $\text{Fe}_3\text{O}_4/\text{Fe}_2\text{O}_3$ の平衡に關する chemical reserve zone とみなすことが出来る。

3) u が大きい場合、 f_1 は v に対し、単調増加の傾向を示す。

この場合には、chemical reserve zoneは、あらわれない。

い。図2は、反応完結に必要な最小の反応器長さ l_m と、 u , v との関係を示している。 u の増加とともに、 l_m は大きくなるが、 v の増加に対しては、逆に小さくなる。 v に対する l_m の変化率は、いずれの u においても、 $l_m = 1.00$ で最大値をとり、 v の増加に対しては、減少する。

[記号] X , X_0 : 層内, 入口での CO モル分率, ξ : 無次元距離, r_m : 無次元界面半径, K_m , C_m : 界面進行速度, 無次元—, v , u : 固体, ガスの層内線速度, c_t : ガスのモル濃度, c_0 : 初期酸素濃度, L : 無次元反応器長さ, ϵ : 層空間率, X_{em} : 平衡 CO モル分率, f_w : ヴスタイトの還元率, η_m : 還元により奪われる酸素量

[文献](1)八木, 森山, 鞭: 日本金属学会誌, 32(1968), 209 (2) R. H. Spitzer, F. S. Manning and W. O. Philbrook : Trans. AIME, 242(1968), 618

(3) 近藤：鉄上鏡 5.5(1.9.6.8) S.1.6

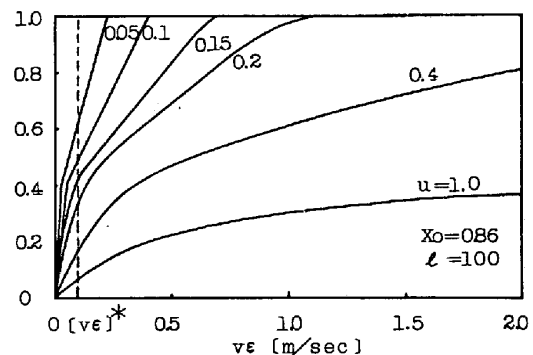


図1. 最終還元率とガス流速との関係

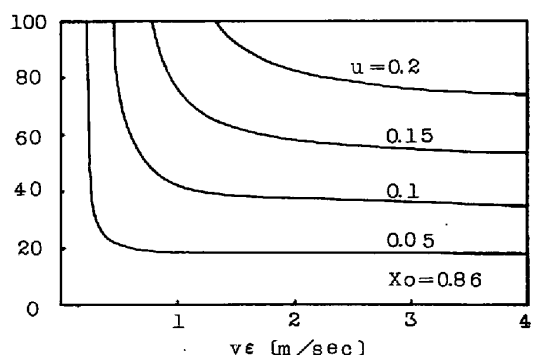


図2. 反応完結に必要な最小の反応器長さとガス流速との関係